

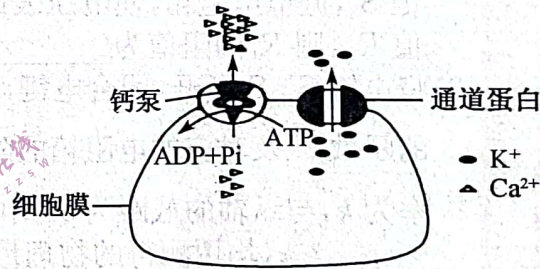
理科综合试卷

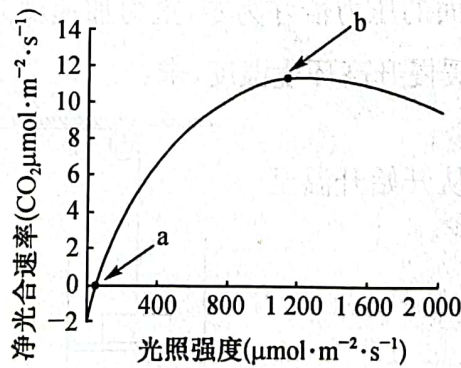
题答要不内线封山

考生注意：

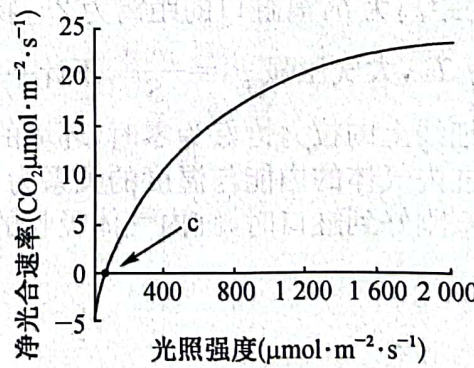
1. 本试卷分选择题和非选择题两部分。满分 300 分，考试时间 150 分钟。
2. 答题前，考生务必用直径 0.5 毫米黑色墨水签字笔将密封线内项目填写清楚。
3. 考生作答时，请将答案答在答题卡上。选择题每小题选出答案后，用 2B 铅笔把答题卡上对应题目的答案标号涂黑；非选择题请用直径 0.5 毫米黑色墨水签字笔在答题卡上各题的答题区域内作答，超出答题区域书写的答案无效，在试题卷、草稿纸上作答无效。
4. 本卷命题范围：高考范围。
5. 可能用到的相对原子质量：H 1 C 12 O 16 F 19 Na 23 Ca 40 Zn 65

一、选择题：本题共 13 小题，每小题 6 分，共 78 分。在每小题给出的四个选项中，只有一项是符合题目要求的。

1. 肌细胞上存在运输 Ca^{2+} 和 K^+ 的转运蛋白，其中钙泵是细胞膜上参与 Ca^{2+} 运输的一种载体蛋白。下列相关叙述错误的是
 - A. Ca^{2+} 通过钙泵泵出肌细胞的方式属于主动运输
 - B. 钙泵运输 Ca^{2+} 的过程体现了蛋白质具有运输和催化功能
 - C. 运输 K^+ 的通道蛋白也可将水运出肌细胞且不消耗能量
 - D. 钙泵的磷酸化会导致其空间结构发生变化，进而完成 Ca^{2+} 的转运
2. 某农科站选用株型紧凑的棉花和耐荫的矮生绿豆品种间作种植，通过扩大棉花带和绿豆带间的距离，缩小株距，实现了棉花、绿豆双丰收。研究人员选取来自该地区植株冠层的棉花、绿豆两种叶片，分别测定不同光照条件下的净光合速率，结果如图所示。下列相关叙述错误的是



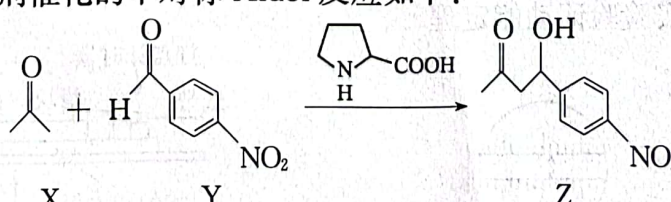
图甲



图乙

- A. 图乙 c 点时叶片单位时间内光合作用消耗的 CO_2 量等于细胞呼吸产生的 CO_2 量
- B. 据图推测图乙叶片最可能是绿豆的冠层叶，图甲最可能是棉花的冠层叶

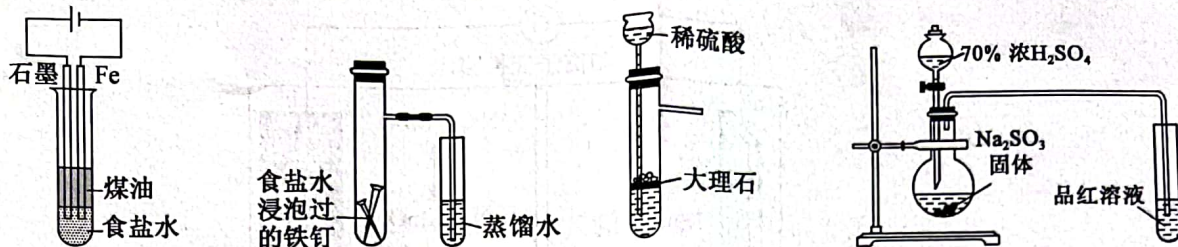
- C. 图甲中 a、b 点限制叶片光合作用速率的主要因素不相同
D. 要比较两种植物新鲜叶片中叶绿素含量,可用 95%乙醇加入适量无水碳酸钠提取色素
3. 水螅是一种多细胞腔肠动物。研究表明,水螅身体的大部分由未分化的干细胞组成,干细胞有持续分裂的能力,因此水螅的身体处在不断更新的状态;水螅的触角和足内的分化细胞被不断剔除(凋亡),被从体内“游”来的新细胞代替。神奇的是,将水螅切成两部分,这两部分将重新长成与母体相同的新个体,该现象称为再生。下列相关推测中错误的是
A. 水螅的触角和足内不同细胞的产生是基因选择性表达的结果
B. 若分离出水螅的细胞并去除细胞核,该细胞可能不会立即失去活性
C. 水螅中已分化细胞的剔除是由基因决定的细胞自动结束生命的过程
D. 水螅再生时,细胞中遗传物质分至子细胞中,会导致遗传物质越来越少
4. 野鸡体型较小、细长,能短距离飞行。人们对野鸡进行长期的人工选择后,逐渐得到了体型更大、更臃肿的家鸡,但家鸡只能扑腾几下而不能飞行。下列相关叙述正确的是
A. 长期人工选择使鸡种群的基因频率发生了定向改变
B. 对野鸡进行人工选择时,直接选择的是其基因型
C. 人工选择使控制鸡体型和飞行的基因发生了定向变异
D. 鸡的变异为进化提供原材料,其变异都能遗传给子代
5. 当流感病毒侵入人体后,会激发人的特异性免疫反应,其主要过程如图所示,其中数字表示过程。下列相关叙述错误的是
- A. 细胞 D 可能是 B 细胞,能对病原体进行摄取、处理
B. 物质甲是细胞因子,它参与的②过程属于细胞免疫
C. 细胞 B 可以识别并裂解被流感病毒感染的靶细胞
D. 物质乙还能与再次侵入人体的狂犬病毒特异性结合
-
6. 基因工程和蛋白质工程技术有很大的应用价值,可用于医药及其他工农业生产中。下列关于基因工程和蛋白质工程的叙述,正确的是
A. 蛋白质工程操作对象是蛋白质,不需要以酶和载体为工具
B. 目的基因的检测与鉴定是培育转基因生物的核心环节
C. 基因工程操作中所用质粒都是来自于细菌细胞中天然的质粒
D. PCR 扩增相关目的基因时,子链的合成方向是 5' 端到 3' 端
7. 房县黄酒,湖北省房县特产,获得中国国家地理标志产品。其工艺流程:浸米→蒸饭→凉饭→前发酵→后发酵→压榨→澄清→杀菌→灌装。下列说法中错误的是
A. 制备黄酒工艺过程涉及过滤操作
B. 浸米的原料糯米主要成分为天然高分子化合物
C. 可利用紫外线对黄酒进行灭菌
D. 传统型黄酒的 pH 为 3.5~4.6 是由于混有大量无机酸
8. 首例有机小分子催化剂催化的不对称 Aldol 反应如下:



下列说法错误的是

- A. X 分子中 σ 键和 π 键数目之比为 3 : 1
B. Y 分子中所有原子可能在同一平面内
C. Z 能发生氧化、取代、消去反应
D. 第一电离能: N > O > C

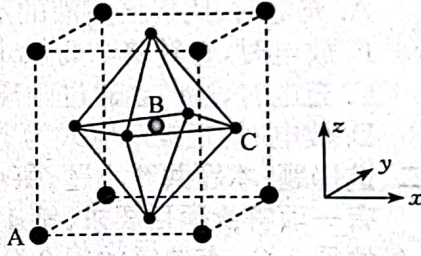
9. 下列实验装置(部分夹持装置已省略)及现象均正确的是



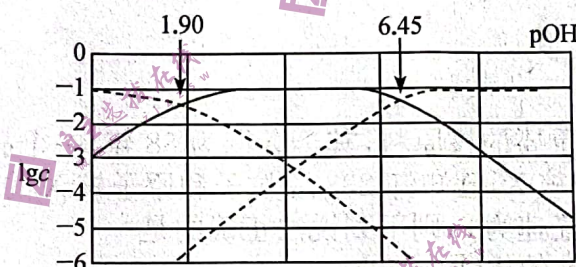
- A. 铁极逐渐溶解, 石墨极附近有白色沉淀生成 B. 右侧导管口有气泡产生 C. 大理石溶解, 持续有大量气泡产生 D. 烧瓶内液体中有大量气泡, 品红溶液逐渐褪色

10. 钙钛矿类杂化材料 $(\text{CH}_3\text{NH}_3)\text{PbI}_3$ 在太阳能电池领域具有重要的价值, 其晶胞结构如图所示, B 代表 Pb^{2+} , A 的原子分数坐标为 $(0, 0, 0)$, B 的原子分数坐标为 $(\frac{1}{2}, \frac{1}{2}, \frac{1}{2})$ 。下列说法中错误的是

- A. A 的配位数为 12
B. A 代表 CH_3NH_3^+
C. B 原子处于 C 原子所形成的正四面体空隙中
D. C 的原子分数坐标: $(1, \frac{1}{2}, \frac{1}{2})$

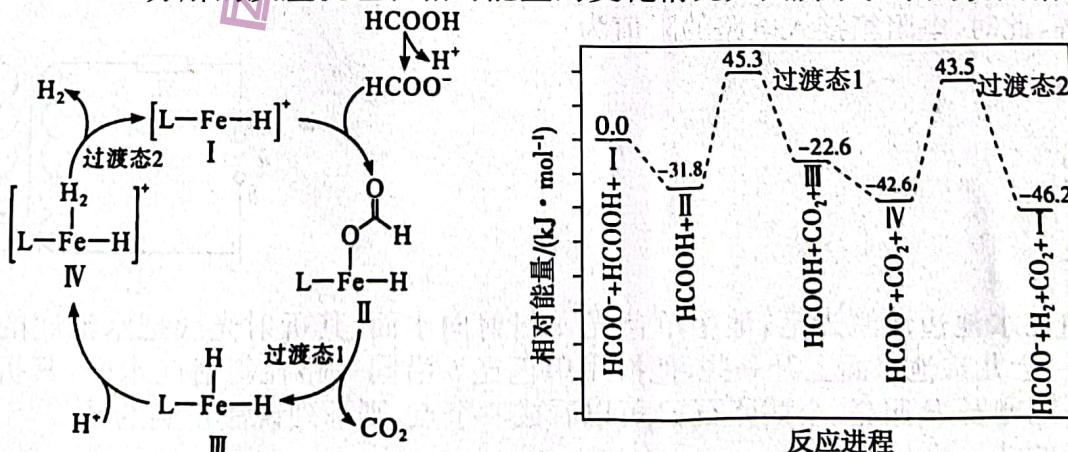


11. 如图为室温下某二元碱溶液中 M(OH)_2 、 M(OH)^+ 、 M^{2+} 的浓度($\text{mol} \cdot \text{L}^{-1}$)对数 $\lg c$ 随 $\text{pOH}[-\lg c(\text{OH}^-)]$ 的变化关系。下列说法正确的是



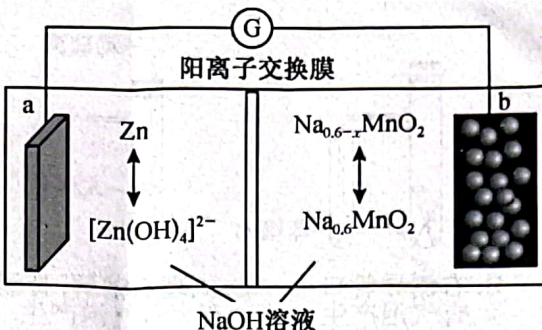
- A. 该二元碱的浓度为 $0.10 \text{ mol} \cdot \text{L}^{-1}$
B. $\text{pOH}=8.0$ 时, $\lg c(\text{M}^{2+})-\lg c[\text{M(OH)}^+] = 1.55$
C. 当 $c(\text{M}^{2+})=c[\text{M(OH)}^+]$ 时, $\text{pH}=6.45$
D. $\text{pH}=7$ 时, $\lg c(\text{M}^{2+})-\lg c[\text{M(OH)}_2] = 8.35$

12. 氢能的利用是人们对新能源的重要研究方向之一。铁的配合物离子(用 $[\text{L}-\text{Fe}-\text{H}]^+$ 表示)催化 HCOOH 分解的反应机理和相对能量的变化情况如图所示。下列说法错误的是



- A. 将 HCOOH 转化为 CO_2 和 H_2 的反应是放热反应
B. 若用 D 标记 HCOO^- 中的 H 原子, 可能会产生 D_2
C. H^+ 浓度过大或过小, 均导致反应速率降低
D. 该过程的总反应速率由 IV → I 步骤决定

13. 最近我国科学家研制出一种由元电 $\text{Na}-\text{Zn}$ 双离子电池体系, 其工作原理如图所示。



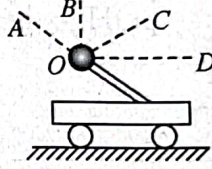
下列说法错误的是

- A. 充电时, 阴极区溶液的 pH 增大
- B. 放电时, 每转移 0.2 mol 电子, 负极区电解质溶液质量增加 6.5 g
- C. 充电时, Na^+ 会通过阳离子交换膜移动到阴极
- D. 放电时, 正极反应式为 $\text{Na}_{0.6-x}\text{MnO}_2 + xe^- + x\text{Na}^+ \rightleftharpoons \text{Na}_{0.6}\text{MnO}_2$

二、选择题: 本题共 8 小题, 每小题 6 分, 共 48 分。在每小题给出的四个选项中, 第 14~18 题只有一项符合题目要求, 第 19~21 题有多项符合题目要求。全部选对的得 6 分, 选对但不全的得 3 分, 有选错的得 0 分。

14. 如图, 顶端固定着小球的直杆固定在小车上, 当小车在水平面上向右做匀加速运动时, 杆对小球作用力的方向可能沿图中的

- A. OA 方向
- B. OB 方向
- C. OC 方向
- D. OD 方向

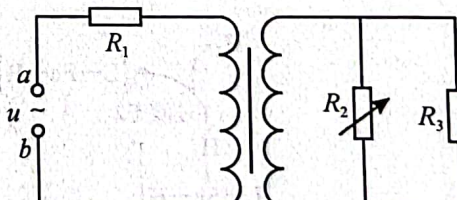


15. 放射性元素钚($^{238}_{94}\text{Pu}$)是重要的核原料, 其半衰期为 88 年, 一个静止的钚 238 衰变时放出 α 粒子和 γ 光子, 生成原子核 X, 已知钚 238、 α 粒子和原子核 X 的质量分别为 m_1 、 m_2 、 m_3 , 普朗克常量为 h , 真空中的光速为 c , 则下列说法正确的是

- A. X 的比结合能比钚 238 的比结合能小
- B. 将钚 238 用铅盒密封, 可减缓其衰变速度
- C. 钚 238 衰变时放出的 γ 光子具有能量, 但是没有动量
- D. 钚 238 衰变放出的 γ 光子的频率小于 $\frac{1}{h}(m_1 - m_2 - m_3)c^2$

16. 如图所示的电路中, 定值电阻 R_1 、 R_3 的阻值均为 R , R_2 为电阻箱, 理想变压器原、副线圈的匝数比为 2 : 1, 在 a 、 b 两端输入正弦交流电压, 调节 R_2 , 使 R_1 消耗的功率和变压器的输出功率相等, 此时, 电阻箱接入电路的阻值为

- A. $\frac{1}{3}R$
- B. $\frac{1}{2}R$
- C. R
- D. $2R$



17. 小明站在水池边玩激光笔, 他用单色光 a 斜射向水面, 其折射光线把水池底的小鹅卵石 P 照亮, 一会儿水池水面上升一些, 他换用单色光 b 沿同一路径斜射向水面, 其折射光线恰好也把小鹅卵石 P 照亮. 小鹅卵石 P 可以看成一个点, 则下列说法正确的是

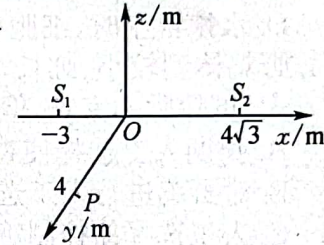
- A. a 光的波长比 b 光长
- B. 水对 a 光的折射率比 b 光大
- C. a 光在水中传播速度比 b 光大
- D. 用同一装置做双缝干涉实验, a 光的相邻干涉条纹间距比 b 光大

18. 2022年11月29日“神舟十五号”飞船顺利发射,六名中国宇航员完成首次太空交接班。已知核心舱绕地球运行近似为匀速圆周运动,离地面距离为400 km,做圆周运动的周期为90 min,向心加速度大小为 a_1 ,地球赤道上物体随地球自转的向心加速度大小为 a_2 ,已知地球半径为6400 km,地球表面的重力加速度为 g ,下列关系正确的是

A. $a_1 = \frac{16}{17}g$ B. $a_2 = g$ C. $a_1 = 272a_2$ D. $a_1 = \left(\frac{17}{16}\right)^2 a_2$

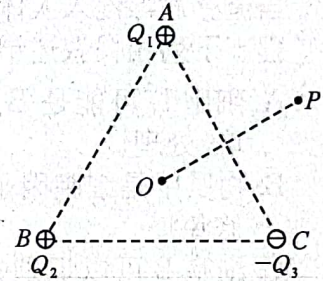
19. 在某水平均匀介质中建立如图所示的三维直角坐标系, xOy 平面水平。在 x 轴上的两个波源 S_1 、 S_2 的 x 坐标分别为 $x_1 = -3$ m、 $x_2 = 4\sqrt{3}$ m, $t=0$ 时刻 S_1 、 S_2 同时开始振动, S_1 的振动方程为 $z = -10\sin(4\pi t)$ cm, S_2 的振动方程为 $z = 8\sin(4\pi t)$ cm, S_1 振动形成的波传播速度为2 m/s, y 轴上 P 点的 y 坐标为 $y = 4$ m,取 $\sqrt{3} = 1.73$,则下列说法正确的是

- A. P 点的起振方向沿 z 轴正向
 B. 当 S_2 振动形成的波传到 P 点时, P 点在平衡位置沿 z 轴负向运动
 C. 两列波在 P 点叠加后, P 点离开平衡位置的最大位移为18 cm
 D. y 轴上,坐标原点 O 和 P 点间,只有一个振动加强点



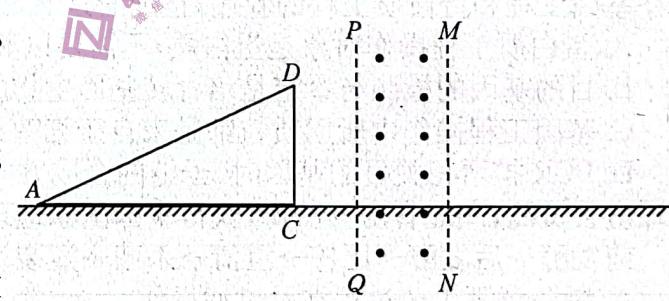
20. 如图所示,等边三角形ABC的三个顶点A、B、C分别固定有电荷量为 $+Q_1$ 、 $+Q_2$ 、 $-Q_3$ 的点电荷,A点处电荷受到的电场力方向平行于BC,B点处电荷受到的电场力方向垂直于BC,O为三角形的中点,P和O在纸面内关于AC对称,无穷远处电势为零,则下列说法正确的是

- A. $Q_1 : Q_2 : Q_3 = 2 : 1 : 1$
 B. O点电势与P点电势相等
 C. 将A点的点电荷沿直线移到O点,其电势能增大
 D. 将A点的点电荷沿直线移到P点,电场力做正功



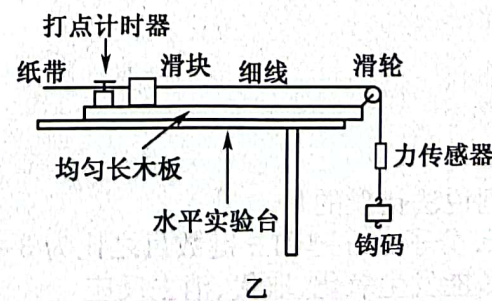
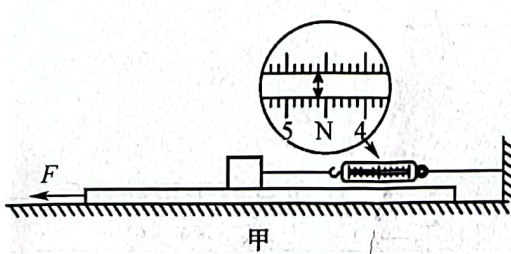
21. 如图所示,距离为 L 的竖直虚线PQ、MN之间存在沿水平方向的匀强磁场,磁感应强度大小为 B 。有一质量为 m 、电阻为 R 的直角三角形金属线框ACD, $\angle C = 90^\circ$, AC边长为 $3L$, CD边长为 $1.5L$,线框底边AC在光滑绝缘的水平面上,给金属线框一个水平向右的初速度,CD边出磁场前瞬间线框的加速度大小为 a ,线框始终在竖直平面内运动,AC边一直不离开水平面,则下列判断正确的是

- A. CD边出磁场前瞬间,线框的速度大小
 为 $\frac{maR}{B^2 L^2}$
 B. CD边出磁场后瞬间,线框的加速度大小
 为 $\frac{1}{2}a$
 C. 在CD边刚出磁场到A点刚要进磁场过程中,线框对地面的压力大于线框重力
 D. 在CD边刚出磁场到A点刚要进磁场过程中,线框的速度减少量为 $\frac{B^2 L^3}{2mR}$



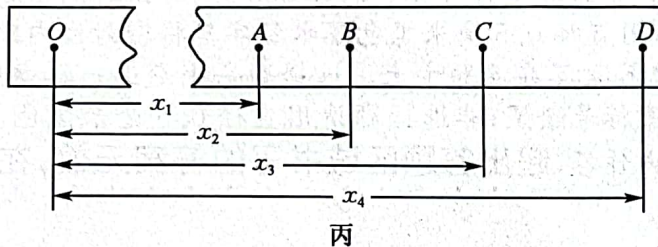
三、非选择题:共174分。

22. (6分)某同学想用实验验证动能定理。



(1)该同学先用图甲所示装置测滑块与长木板间的滑动摩擦力,把弹簧测力计的一端固定在墙上,用力 F 水平向左拉放在水平面上的长木板,长木板向左运动,此时测力计的示数稳定(图中已把弹簧测力计的示数放大画出),则滑块受到长木板的滑动摩擦力大小 $F_f = \underline{\hspace{2cm}}$ N.

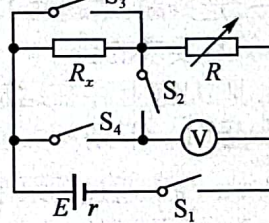
(2)再在图乙装置中实验,将图甲中的长木板装上定滑轮平放在水平实验台上,调节 $\underline{\hspace{2cm}}$,使拉滑块的细线与长木板平行,由静止释放滑块,打点计时器打出的纸带如图丙所示, O 点为刚释放钩码时打下的点, A 、 B 、 C 、 D 是四个连续点,各点与 O 点间的距离图中已标出,打出此纸带过程中,力传感器的示数为 F ,已知打点计时器所用交流电的频率为 f ,测出小车质量为 M ,钩码和力传感器总质量为 m ,重力加速度为 g . 则打下 O 点到 C 点过程中,如果表达式 $\underline{\hspace{2cm}}$ (用物理量符号表示)成立,则动能定理得到验证.



23. (12分)某同学要测量一节新干电池的电动势和内阻,根据实验室提供的器材设计了如图所示的电路,其中 R_x 为阻值约为 2Ω 的定值电阻,电压表量程为 $3V$, R 为 $0\sim 999.9\Omega$ 的电阻箱.

(1)实验前,先断开电键 S_2 、 S_3 ,闭合电键 S_4 ,将电阻箱的电阻调到 $\underline{\hspace{2cm}}$ (填“0”或“较大”),闭合电键 S_1 ,调节电阻箱,使电压表的指针偏转较大,记录电压表的示数 U_0 及电阻箱的阻值 R_1 ,再闭合电键 S_3 ,调节电阻箱,使电压表的示数仍为 U_0 ,记录这时电阻箱的阻值 R_2 ,则 R_x 的阻值为 $\underline{\hspace{2cm}}$.

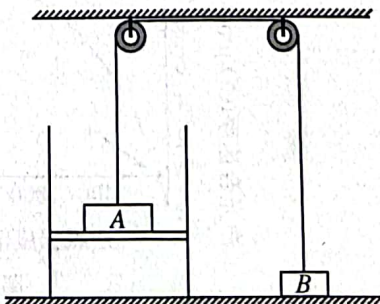
(2)将电键 S_3 、 S_4 断开,闭合电键 S_2 ,多次调节电阻箱,得到多组电压表的示数 U 及对应的电阻箱的阻值 R ,以 $\frac{1}{U}$ 为纵轴, $\frac{1}{R}$ 为横轴作 $\frac{1}{U}$ - $\frac{1}{R}$ 图像,得到图像的斜率为 k ,与纵轴的截距为 b ,则电池的电动势为 $E = \underline{\hspace{2cm}}$,电池的内阻为 $r = \underline{\hspace{2cm}}$; (均用测得的物理量符号表示)



(3)本实验由于 $\underline{\hspace{2cm}}$,使测量结果存在系统误差;若用四个电键均闭合后的电路测电源电动势和内阻,则这样实验有什么弊端? $\underline{\hspace{2cm}}$.

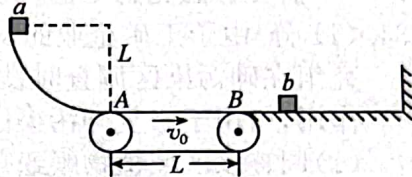
24. (10分)如图所示,导热性能良好的汽缸开口向上放在水平地面上,缸内用质量和厚度不计、面积为 S 的活塞封闭一定质量的理想气体,活塞上放质量为 $4m$ 的物块 A ,绕过定滑轮的细线一端连接物块 A ,另一端连接质量为 $2m$ 的物块 B ,开始时, A 、 B 均处于静止状态,活塞离缸底的距离为 h ,离缸口的距离为 $2h$,物块 B 对地面的压力恰好为零,重力加速度为 g ,环境温度为 T_0 ,大气压强 $p_0 = \frac{5mg}{S}$,不计一切摩擦,现缓慢升高环境温度,求:

- (1)当细线上的拉力恰好为零时,环境的温度为多少;
- (2)若缸内气体的内能与温度的关系为 $U = kT$,则从开始升温至活塞刚好到缸口时,缸内气体吸收的热量为多少.



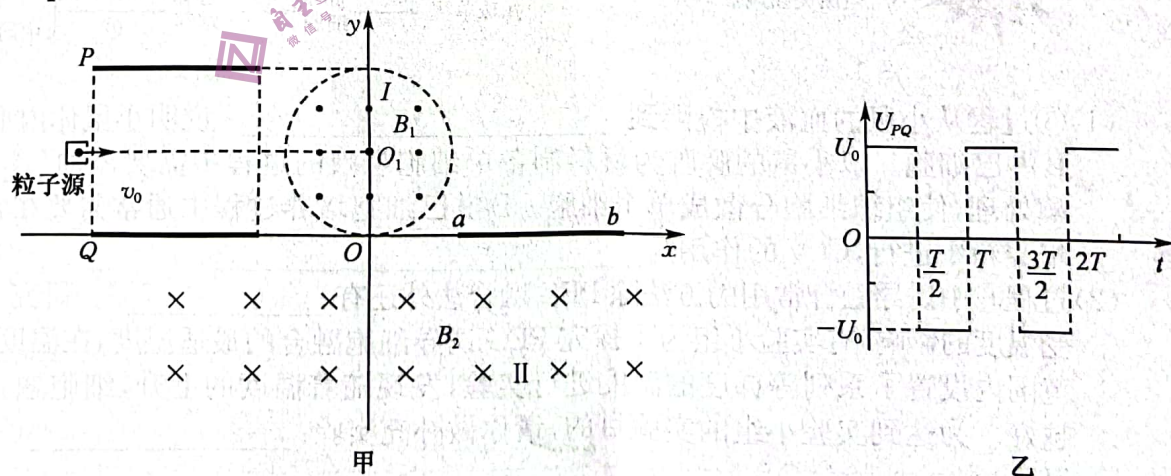
25.(14分)如图所示,半径为 L 的四分之一光滑圆弧轨道固定在竖直平面内,轨道的最低点与长为 L 的水平传送带左端 A 水平相切,传送带沿顺时针转动的速度为 v_0 ($v_0 > \sqrt{2gL}$),传送带的右端 B 紧靠等高的光滑水平面,质量为 m 的滑块 b 静止在水平面上,离右边的竖直墙距离为 L . 质量为 $3m$ 的滑块 a 从轨道上的最高点由静止释放沿圆弧面滑下,当 a 滑到传送带右端时刚好与传送带共速, a 滑上水平面后与 b 发生弹性碰撞, b 与墙碰撞前后速度等大反向,不计滑块的大小,重力加速度为 g ,求:

- (1)滑块 a 与传送带间的动摩擦因数;
- (2)滑块 a 第一次通过传送带,带动传送带的电动机额外多做的功;
- (3)在滑块 a 、 b 第一次和第二次碰撞的时间间隔内,滑块 a 运动的距离.

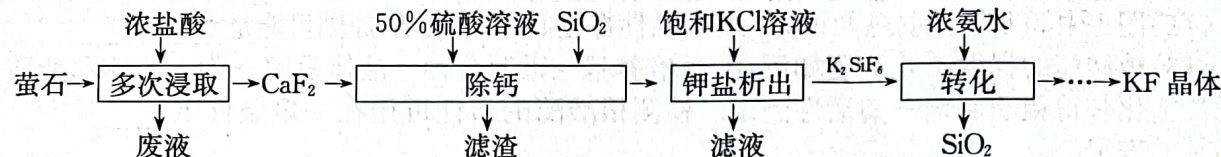


26.(20分)如图甲所示,在半径为 R 的圆形区域内有垂直于坐标平面向外的匀强磁场 I ,圆心的坐标为 $O_1(0, R)$,在 x 轴下方有垂直于坐标平面向里的匀强磁场 II , P 、 Q 为长 $2R$ 的平行板, Q 板在 x 轴负半轴上,两板间的距离为 $2R$,在两板间加上如图乙所示的电压,在两板的左侧有一粒子源,从 $t=0$ 时刻开始沿两板中线发射质量为 m 、电荷量为 q 的带正电粒子,粒子初速度为 $v_0 = \frac{2R}{T}$,长为 $2R$ 的接收器 ab 水平放置在 x 轴正半轴上, a 端离 O 点距离为 R ,在 $t=\frac{1}{4}T$ 时刻从粒子源射出的粒子经磁场 I 偏转后从 O 点沿 y 轴负方向进入磁场 II ,此粒子刚好打在接收器上的 b 点,所有粒子均能从两板间射出,不计粒子重力和粒子间相互作用,求:

- (1)粒子在两板间运动的最大侧移;
- (2)匀强磁场 I 、II 的磁感应强度 B_1 和 B_2 的大小;
- (3)当 $U_0 = \frac{4mR^2}{qT^2}$ 时,接收器 ab 上有粒子打到区域的长度.



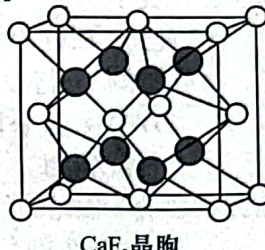
27.(14分)KF是一种非常重要的有机物氟化剂。以萤石(主要含有 CaF_2 ,还含有 Fe_2O_3 、 SiO_2 等杂质)制备KF晶体的流程如下:



回答下列问题:

(1)“多次浸取”可以除去 SiO_2 的原理是_____。

(2) CaF_2 晶胞结构如图所示。如果 CaF_2 晶体的密度为 $\rho \text{ g} \cdot \text{cm}^{-3}$,阿伏加德罗常数的值为 N_A ,则晶体中两个距离最近的 F^- 间的距离为_____cm。



(3)“除钙”时,反应生成了 CaSO_4 沉淀和易溶于水的 H_2SiF_6 。

①写出制备 H_2SiF_6 的反应的化学方程式:_____。

②若不经过“多次浸取”直接加入50%硫酸溶液和 SiO_2 也能将萤石中的F转化为 H_2SiF_6 ,工艺流程中“多次浸取”的目的是_____。

(4)“钾盐析出”时,发生反应的基本类型为_____。

(5)写出“转化”时发生反应的化学方程式:_____。

(6)将“转化”所得溶液蒸发结晶后,得到的KF晶体中会混有少量KOH的原因是_____。

28.(15分)无水二氯化锰(MnCl_2 ,极易吸水潮解,易溶于水、乙醇和醋酸,不溶于苯)常用于铝合金冶炼、有机氯化物触媒等,某兴趣小组用四水醋酸锰 $[(\text{CH}_3\text{COO})_2\text{Mn} \cdot 4\text{H}_2\text{O}]$ 和乙酰氯(CH_3COCl ,沸点:51℃,与水反应生成 CH_3COOH 和 HCl)为原料制备无水二氯化锰。实验步骤如下:

- 将四水醋酸锰、乙酰氯和苯加入容器中,室温搅拌、静置一会,抽滤,得到无水醋酸锰;
- 将无水醋酸锰、苯加入烧瓶中,滴加乙酰氯,加热回流,反应完全后,静置,抽滤、洗涤,得到无水二氯化锰粗产品。装置(夹持装置已省略)如图1所示;
- 将无水二氯化锰粗产品进行纯化,得到无水二氯化锰。

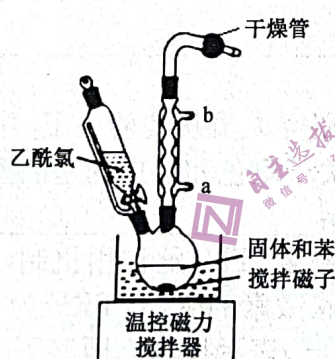


图1

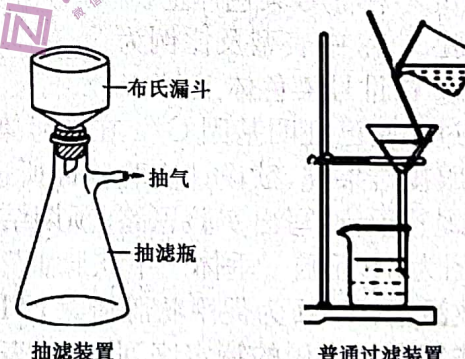


图2

回答下列问题:

(1)基态 Mn^{2+} 核外电子排布式为_____;图1中,盛放乙酰氯的仪器名称为_____。

(2)简述步骤Ⅰ能获得无水醋酸锰的原理:_____。(语言叙述)。

(3)步骤Ⅱ除了生成无水二氯化锰外,还有 $(\text{CH}_3\text{CO})_2\text{O}$ 生成,写出该反应的化学方程式:_____。

(4)步骤Ⅰ设置室温下反应,而步骤Ⅱ设置在加热回流下反应,其原因是_____。

(5)抽滤和普通过滤装置如图2所示,简述抽滤的优点:_____。(任写一种)。

(6) 步骤Ⅲ纯化时, 装置如图3所示:

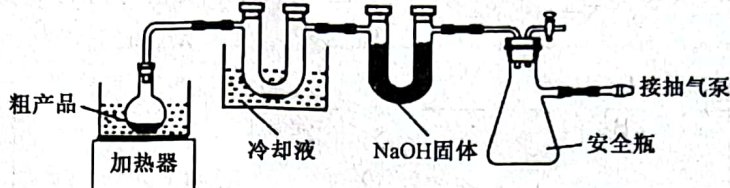


图3

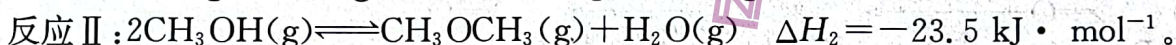
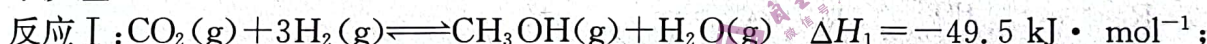
① 打开安全瓶上旋塞, 打开抽气泵, 关闭安全瓶上旋塞, 开启加热器, 进行纯化。请给纯化完成后的操作排序: 纯化完成 → () → () → () → () → 将产品转至干燥器中保存

- a. 拔出圆底烧瓶的瓶塞
- b. 关闭抽气泵
- c. 关闭加热器, 待烧瓶冷却至室温
- d. 打开安全瓶上旋塞

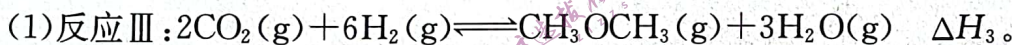
② 图3装置中U形管内NaOH固体的作用是_____ (写一条即可)。

(7) 用滴定分析法确定产品纯度。甲同学通过测定产品中锰元素的含量确定纯度; 乙同学通过测定产品中氯元素的含量确定纯度。合理的是_____ (填“甲”或“乙”)同学的方法。

29. (14分) 二甲醚(CH_3OCH_3)是一种新型能源, 其由 CO_2 在催化剂作用下制备的过程涉及如下反应:



回答下列问题:



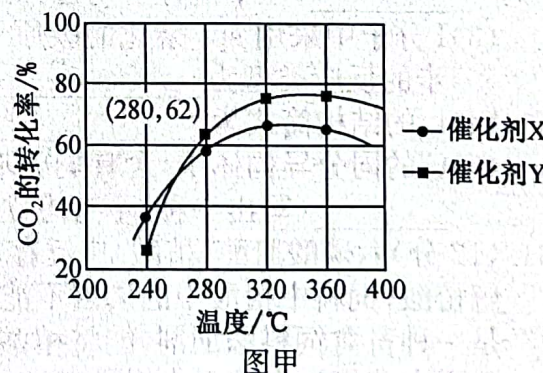
- ① $\Delta H_3 = \text{_____ kJ} \cdot \text{mol}^{-1}$, 利于该反应自发进行的条件是_____ (填字母)。
- A. 较低温度
 - B. 较高温度
 - C. 任何温度

② 若反应I、II、III平衡常数分别为 K_1 、 K_2 、 K_3 , 则 $K_3 = \text{_____}$ (用 K_1 、 K_2 表示)。

(2) 其他条件相同, 分别在X、Y两种催化剂作用下, 将2 mol $\text{CO}_2(\text{g})$ 和6 mol $\text{H}_2(\text{g})$ 充入体积为1 L的密闭容器内发生反应III, 反应相同时间时 CO_2 的转化率与温度的关系如图甲所示。

① 使用催化剂X, 当温度高于320 °C时, CO_2 的转化率逐渐下降, 其原因是_____。

② 根据图像, _____ (填“能”或“不能”)计算280 °C时该反应的平衡常数, 其理由是_____。

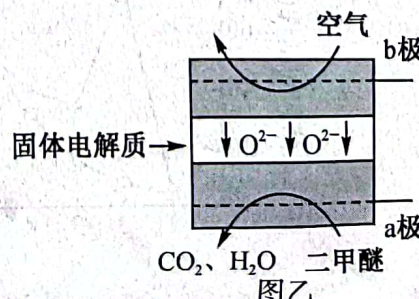


(3) 控制温度280 °C, 向一定体积的刚性容器中充入2 mol $\text{CO}_2(\text{g})$ 和6 mol $\text{H}_2(\text{g})$ 发生反应I、III, 达到平衡时, 容器内的气体压强为4.8 MPa, 此时 CO_2 的转化率为75%, 生成0.6 mol CH_3OCH_3 。

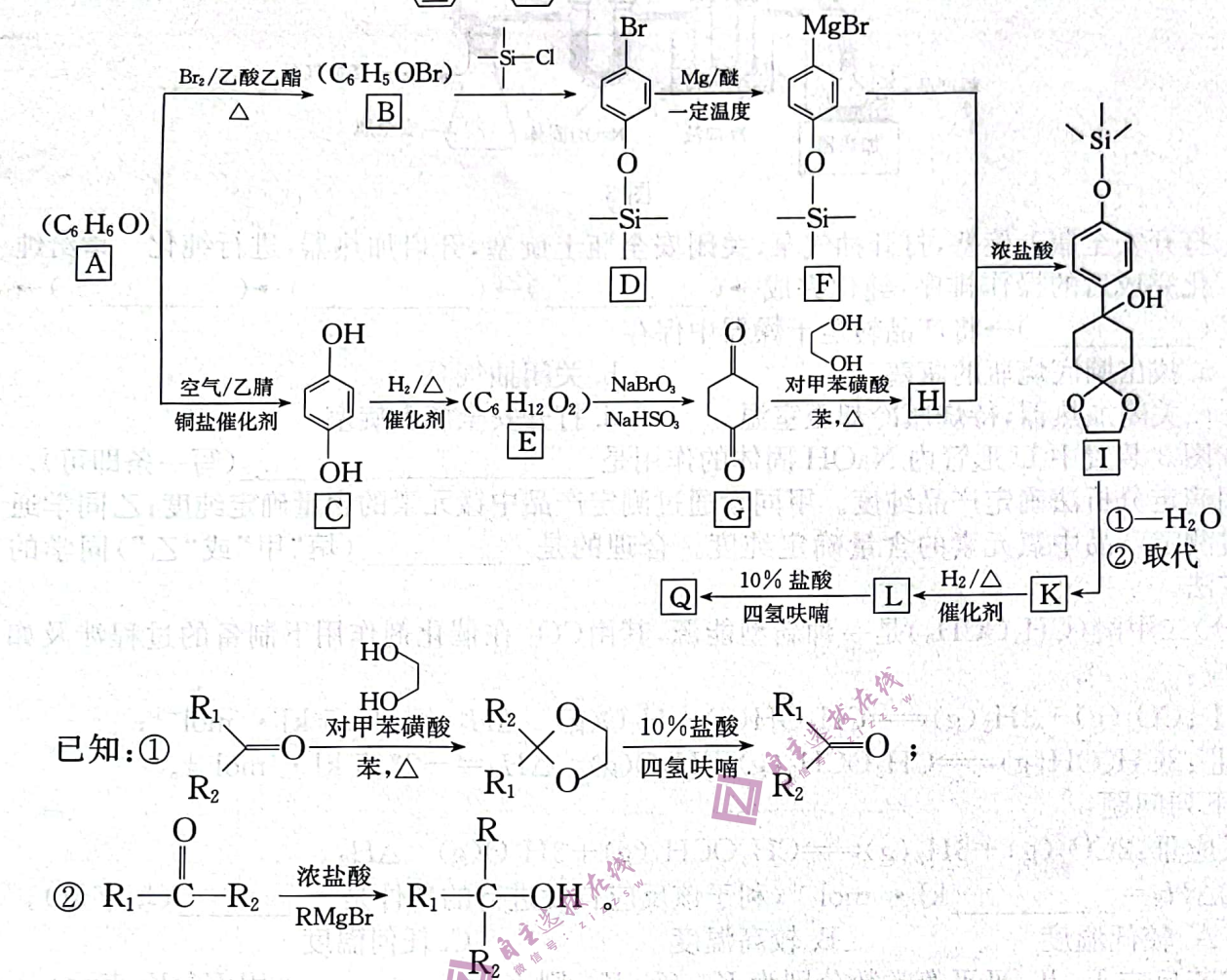
① 温度280 °C, 达到平衡时 CH_3OCH_3 的选择性为_____ (CH_3OCH_3 的选择性 = $\frac{\text{生成 } \text{CH}_3\text{OCH}_3 \text{ 消耗 } \text{CO}_2 \text{ 的物质的量}}{\text{参与反应的 } \text{CO}_2 \text{ 的物质的量}} \times 100\%$)。

② 温度为280 °C时, 反应III的分压平衡常数 $K_p = \text{_____}$ MPa⁻⁴ (列出计算式即可, 分压 = 总压 × 组分物质的量分数)。

(4) 二甲醚应用于某燃料电池, 该电池采用可传导 O^{2-} 的固体氧化物为电解质, 其工作原理如图乙所示。负极电极反应式为_____。



30. (15分) 有机物 Q(O=C1CCCCC1OCC(O)C=Cc2ccccc2)是一种制备液晶材料的重要中间体,其合成路线如下:



(1) B 分子中所含官能团的名称为_____。

(2) G→H 的反应方程式为_____, 该流程中乙二醇的作用是_____, 在本流程中与乙二醇起类似作用的有机物还有_____ (填结构简式)。

(3) I 分子中采用 sp^3 杂化的碳原子个数为_____; I→K 的转化分为 2 步, 第①步的反应类型为_____。

(4) L 的结构简式为_____。

(5) C 的同分异构体中, 含有酮羰基且核磁共振氢谱图中只有一组峰的结构简式为_____ (写出一种, 不考虑立体异构)。

31. (12分) 六磷酸肌醇(植酸)广泛存在于谷物、豆类和油料作物中, 禽类、猪等单胃动物不能分解植酸, 饲料中植酸中的磷因不能被利用而随粪便排出, 导致磷浪费。微生物分泌的植酸酶是一种畜禽饲料添加剂, 能将植酸分解为肌醇和无机磷, 提高了饲料中磷的利用率, 但 pH 和蛋白酶等许多因素会对植酸酶的活性产生影响。科研人员对某种霉菌产生的两种植酸酶在不同 pH 条件下相对活性的差异进行了比较研究, 结果如下图 1。回答下列问题:

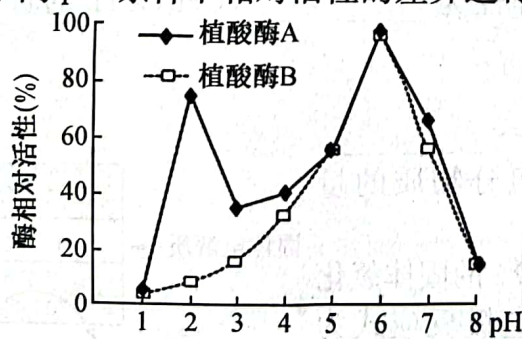


图 1

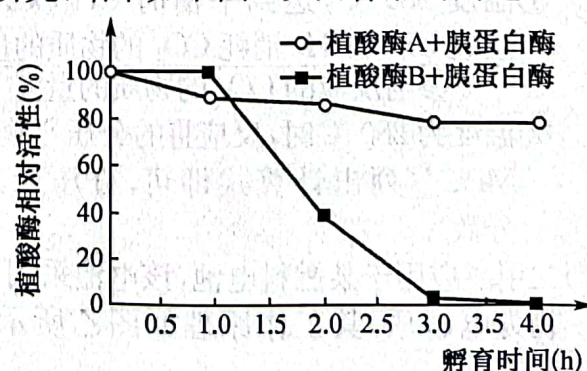


图 2

(1)据图1分析,该实验的自变量是_____。植酸酶能够降低底物分子从_____转变为_____ (均填某种状态)所需要的能量。

(2)图1中pH为1时,这两种酶的相对活性都较低,甚至失活,原因可能是_____。

(3)植酸酶的提取工艺流程如下:配制培养基→霉菌接种→液体发酵→除去菌体和杂质→纯化获得粗酶制剂→酶活性测定。检测植酸酶的活性可用在一定条件下_____表示。

(4)已知雏鸡小肠中的pH约为6.0,小肠内含有胰蛋白酶,科研人员为了研究胰蛋白酶对植酸酶A与B活性的影响,将两种植酸酶在含有等量胰蛋白酶的适宜pH缓冲液(pH=6.0)中保温一段时间,检测残留的植酸酶活性,结果如图2,根据实验结果推测两种植酸酶中植酸酶_____更适合添加在雏鸡饲料中,理由是_____。

32.(12分)果蝇的红眼(G)对玫瑰眼(g)为显性,菱形眼(E)对圆眼(e)为显性,这两对基因中有一对位于性染色体上。实验人员将红眼圆眼雌果蝇与玫瑰眼菱形眼雄性作为亲本进行杂交,得到F₁全为红眼菱形眼,F₁雌雄个体交配,得到F₂的表型及比例如下表所示,不考虑同源染色体互换及突变。回答下列问题:

F ₂ 的表型	红眼菱形眼	玫瑰眼菱形眼	玫瑰眼圆眼	红眼圆眼
雌性	3/16	1/16	1/16	3/16
雄性	3/8	1/8		

(1)写出两亲本的基因型是_____,若将F₂中红眼菱形眼雄果蝇与玫瑰眼菱形眼雌果蝇杂交,子代雌果蝇中红眼圆眼所占比例为_____。

(2)已知粗糙眼皮(A)对光滑眼皮(a)为显性,长刚毛(B)对短刚毛(b)为显性,这两对基因分别位于Ⅱ、Ⅲ号染色体上。为确定基因G/g所在染色体,分别选择纯合亲本(每个亲本基因型中只有一对基因为隐性)进行下列两组实验:

实验一: P 玫瑰眼粗糙眼皮♂ × 红眼光滑眼皮♀ → F₁ → F₂;

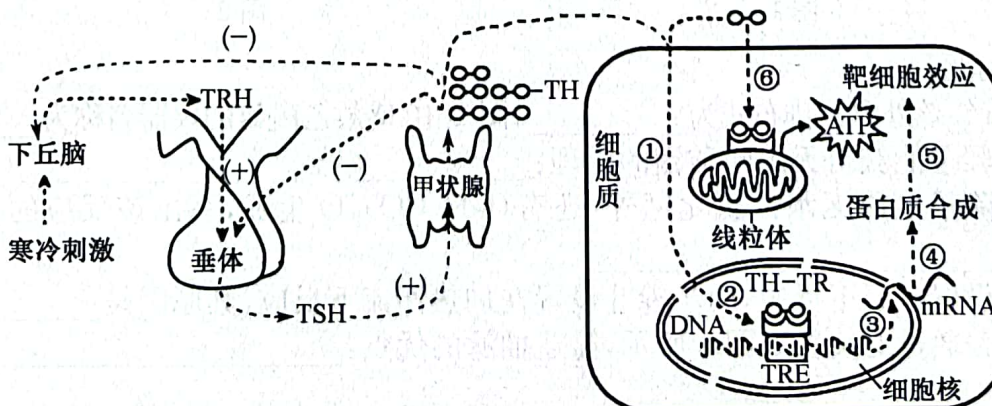
实验二: P 玫瑰眼长刚毛♂ × 红眼短刚毛♀ → F₁ → F₂。

①若实验一 F₂ 中表型及比例为_____,则基因 G/g 不在Ⅱ号染色体上。

②若实验二 F₂ 中表型及比例为_____,则基因 G/g 在Ⅲ号染色体上。

③若通过实验已证明基因 G/g 在Ⅲ号染色体上,研究人员从实验一 F₂ 中任选一只红眼粗糙眼皮雄果蝇,欲设计实验验证所选雄果蝇关于眼色和眼皮的基因型。现有各种纯合果蝇若干,请写出实验思路、预期结果及结论:_____。

33.(10分)如图为“下丘脑—垂体—甲状腺轴”及甲状腺激素(TH)的作用机制,TRH 为促甲状腺激素释放激素,TSH 为促甲状腺激素,TR 为甲状腺激素的受体,TRE 为 DNA 上甲状腺激素—受体复合物作用的特定序列,(+)表示促进,(-)表示抑制。回答下列问题:



(1)图中“下丘脑—垂体—甲状腺轴”所示调节过程中存在分级调节和_____调节，甲状腺激素对垂体细胞的作用效果有_____（答两点）。

(2)人体受到寒冷刺激后，通过_____（填“神经”“体液”或“神经—体液”）调节促进TH的分泌，进而使机体产热增多以维持体温。据图推测TH的作用机制：①TH与线粒体上相应受体结合，激活了线粒体膜上的相关蛋白质，导致有机物氧化分解释放的能量无法转化成ATP中的化学能；②_____。

(3)新冠病毒侵入人体后，往往使体温调定点_____（填“上调”“下调”或“不变”），导致下丘脑神经内分泌细胞兴奋并分泌TRH。此调节过程与直接刺激_____（填“冷觉感受器”或“温觉感受器”）引发的调节过程类似。

34. (11分)由于工矿企业的发展、农业化肥的过量使用、污水灌溉等，土壤污染越来越严重。研究组在砷污染区调查时发现蜈蚣草长势良好。野外调查表明，蜈蚣草对砷具有很强的富集作用，可用于修复砷污染区。回答下列问题：

(1)调查该区域植物蜈蚣草的种群密度常采用_____。

(2)除研究种群密度外，还可以研究区域内蜈蚣草的出现频率、高度以及与其他生物的种间关系等，这些都属于研究该物种的_____。砷污染区群落的恢复过程属于群落演替的过程，这种演替属于_____（填演替类型）。若该地区恢复后形成了草原生物群落，从生物的适应性角度分析，该地区的动物大都具有_____的特点。

(3)富集砷的蜈蚣草必须及时收割并进行无害化处理，一是因为砷能够通过_____逐级积累和浓缩，在高营养级生物体内富集；二是通过微生物的分解作用，使_____，造成对土壤的二次污染。通过一段时间的修复，该区域的植物出现了较明显的垂直结构，动物分层现象也随之变得明显。动物有分层现象的原因是_____。

35. (9分)IL-6为炎症风暴的重要因子，托珠单抗是一种抗IL-6受体单克隆抗体，由中国仓鼠卵巢癌细胞通过DNA重组等技术所得，托珠单抗治疗新冠重症感染者的机理如图1所示，同时托珠单抗也是治疗自身免疫疾病的重要药物。研究人员为制备托珠单抗进行了如图2实验。回答下列问题：

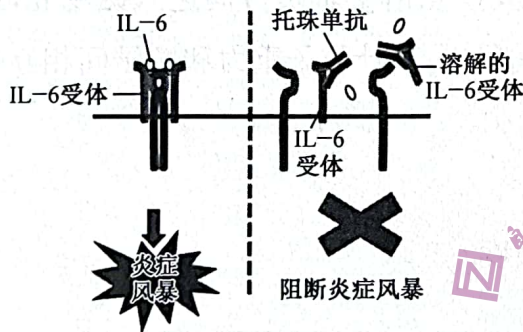


图1

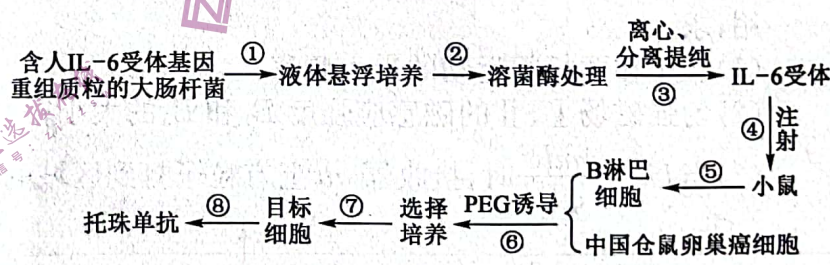


图2

(1)⑤过程从小鼠的血液中检测到_____，说明小鼠体内形成了相应的B淋巴细胞。以小鼠的脾脏为材料制备单细胞悬液的过程中需要添加_____酶处理，使组织细胞分散成单个细胞。B淋巴细胞培养过程中通常需要在含5%CO₂的培养箱中进行，CO₂的作用是_____。

(2)过程⑥中诱导融合常用的方法除PEG融合法外还有_____。研究表明融合效果受温度的影响，有实验小组为了探究PEG诱导细胞融合的最适温度，在温度为10~25℃范围内设置了系列等梯度的温度进行实验，发现随着温度的上升，细胞融合的效果越来越好。为达到实验小组的实验目的，请你做补充实验：_____（写出简要实验思路）。